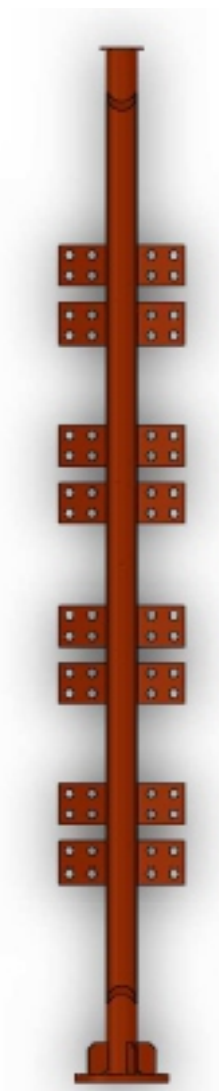


Características

Antena cilíndrica de fendas para TV DIGITAL UHF canal 14-52
Diagrama direcional, omnidirecional ou específico
Montagem em topo ou lateral de torre
Reduzida carga de vento com construção robusta
Variada gama de diagramas de radiação, potência de entrada e ganhos



Especificações:

Potência Max	De acordo com projeto
Ganho	Vide tabela
Faixa de Frequência	470 a 704 MHz
Polarização	Horizontal
Diagrama Horizontal	Direcional, Omnidirecional .
Diagrama vertical	Tilt e null fill opcional
Impedância de entrada	50 ohms
VSWR Max no canal	1,1 : 1
Conector de entrada	N-Fêmea, EIA7/8", EIA1-5/8" e EIA 3-1/8"
Dimensões e esforços	Tabela
Velocidade Max vento	190 Km/h
Quantidade de fendas	2,4,6,8,12 fendas
Aterramento	Através da estrutura da antena
Largura de faixa	6 MHz

Material Empregado:

Estrutura da antena em alumínio, latão e aço inox
Linhas de alimentação das fendas em alumínio
Radome em fibra de vidro de alta qualidade
Fixadores em aço inox e isoladores em PTFE
Conector de entrada com contatos internos com tratamento em prata
Estrutura de sustentação em aço galvanizado a quente

Montagem:

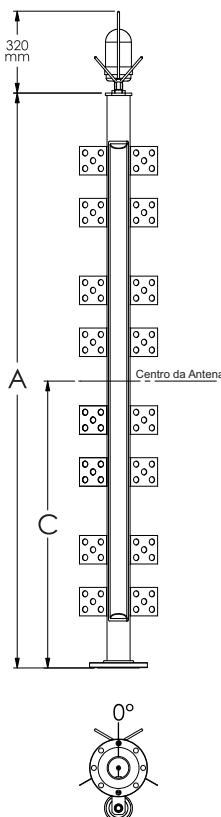
Fixação em topo de torres através de flanges padronizadas ou na lateral de torres por suporte de adaptação .

ASCL-(Nº FENDAS) - (DIAGRAMA HOR.) - (CANAL) - (POTÊNCIA)

2,4,6,8,12 80°, 140°, 220°, 260°, 360° 14 até 52 em Kilowatt

ANTENA SLOT CILÍNDRICA - UHF

Broadcast: Television & Radio



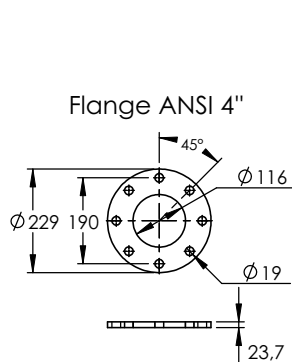
- A** Altura da antena em mm
- C** Centro de radiação em mm
- P** Peso da antena em Kg (montagem topo)
- AE** Área de exposição da antena em m²

Montagem Lateral

Acrescentar 6 kg ao peso total da antena para o caso de instalação com suporte lateral.

Canal	ASCL-2				ASCL-4				ASCL-6				ASCL-8				ASCL-12			
	A	C	P	AE	A	C	P	AE	A	C	P	AE	A	C	P	AE	A	C	P	AE
14	2211	1106	13	0,27	3480	1740	19,6	0,44	4748	2374	25,9	0,62	6017	3008	32,0	0,80	8554	4277	42,3	1,07
15	2159	1080	13	0,26	3412	1706	19,4	0,44	4665	2332	25,7	0,61	5917	2959	31,7	0,79	8422	4211	41,9	1,05
16	2233	1116	13	0,26	3470	1735	19,2	0,43	4707	2353	25,4	0,61	5944	2972	31,4	0,78	8418	4209	41,5	1,04
17	2194	1097	13	0,26	3416	1708	19,1	0,43	4638	2319	25,2	0,60	5860	2930	31,1	0,77	8304	4152	41,2	1,03
18	2169	1084	13	0,25	3376	1688	18,9	0,42	4583	2292	25,0	0,59	5790	2895	30,8	0,76	8205	4102	40,8	1,01
19	2144	1072	13	0,25	3336	1668	18,8	0,42	4529	2265	24,8	0,58	5722	2861	30,6	0,75	8108	4054	40,4	1,00
20	2131	1066	13	0,25	3310	1655	18,6	0,41	4489	2244	24,6	0,58	5667	2834	30,3	0,74	8025	4012	40,1	0,99
21	2107	1054	13	0,24	3272	1636	18,5	0,41	4437	2219	24,4	0,57	5602	2801	30,1	0,73	7932	3966	39,7	0,98
22	2118	1059	13	0,24	3270	1635	18,3	0,40	4422	2211	24,2	0,56	5573	2787	29,8	0,73	7877	3938	39,4	0,97
23	2072	1036	13	0,24	3211	1605	18,2	0,40	4349	2175	24,0	0,56	5488	2744	29,6	0,72	7765	3883	39,0	0,96
24	2050	1025	13	0,24	3176	1588	18,1	0,39	4301	2151	23,8	0,55	5427	2714	29,3	0,71	7678	3839	38,7	0,95
25	2028	1014	12	0,23	3141	1571	17,9	0,39	4254	2127	23,6	0,55	5368	2684	29,1	0,70	7594	3797	38,4	0,94
26	1996	998	12	0,23	3097	1548	17,8	0,39	4197	2099	23,5	0,54	5298	2649	28,9	0,69	7500	3750	38,1	0,92
27	1997	998	12	0,23	3085	1543	17,7	0,38	4174	2087	23,3	0,53	5263	2632	28,6	0,69	7441	3721	37,8	0,91
28	1987	993	12	0,23	3064	1532	17,6	0,38	4141	2071	23,1	0,53	5218	2609	28,4	0,68	7373	3686	37,5	0,90
29	1977	988	12	0,22	3043	1521	17,4	0,37	4108	2054	23,0	0,52	5174	2587	28,2	0,67	7306	3653	37,2	0,90
30	1968	984	12	0,22	3022	1511	17,3	0,37	4076	2038	22,8	0,52	5131	2565	28,0	0,66	7240	3620	36,9	0,89
31	1948	974	12	0,22	2991	1496	17,2	0,37	4035	2017	22,6	0,51	5078	2539	27,8	0,66	7165	3582	36,6	0,88
32	1939	969	12	0,22	2972	1486	17,1	0,36	4004	2002	22,5	0,51	5037	2518	27,6	0,65	7102	3551	36,3	0,87
33	1889	945	12	0,21	2911	1456	17,0	0,36	3933	1967	22,3	0,50	4956	2478	27,4	0,64	7000	3500	36,1	0,86
34	1830	915	12	0,21	2842	1421	16,9	0,35	3854	1927	22,2	0,50	4866	2433	27,2	0,64	6889	3445	35,8	0,85
35	1813	906	12	0,21	2815	1407	16,8	0,35	3816	1908	22,0	0,49	4818	2409	27,0	0,63	6821	3411	35,5	0,84
36	1806	903	12	0,21	2797	1399	16,7	0,35	3789	1895	21,9	0,49	4781	2390	26,8	0,62	6764	3382	35,3	0,83
37	1798	899	12	0,21	2780	1390	16,6	0,34	3762	1881	21,7	0,48	4744	2372	26,7	0,62	6708	3354	35,0	0,82
38	1792	896	12	0,20	2764	1382	16,5	0,34	3736	1868	21,6	0,48	4709	2354	26,5	0,61	6654	3327	34,8	0,82
39	1775	888	11	0,20	2738	1369	16,4	0,34	3701	1851	21,5	0,47	4664	2332	26,3	0,61	6590	3295	34,6	0,81
40	1770	885	11	0,20	2724	1362	16,3	0,33	3678	1839	21,3	0,47	4632	2316	26,1	0,60	6540	3270	34,3	0,80
41	1752	876	11	0,20	2697	1349	16,2	0,33	3642	1821	21,2	0,46	4587	2294	26,0	0,60	6477	3238	34,1	0,79
42	1737	868	11	0,20	2673	1336	16,1	0,33	3609	1804	21,1	0,46	4545	2272	25,8	0,59	6417	3208	33,9	0,79
43	1721	861	11	0,19	2649	1324	16,0	0,32	3576	1788	20,9	0,45	4503	2252	25,7	0,58	6358	3179	33,6	0,78
44	1706	853	11	0,19	2625	1313	15,9	0,32	3544	1772	20,8	0,45	4463	2231	25,5	0,58	6301	3150	33,4	0,77
45	1692	846	11	0,19	2602	1301	15,8	0,32	3512	1756	20,7	0,45	4423	2211	25,3	0,57	6244	3122	33,2	0,76
46	1686	843	11	0,19	2588	1294	15,7	0,32	3491	1745	20,6	0,44	4393	2196	25,2	0,57	6197	3099	33,0	0,76
47	1681	840	11	0,19	2575	1287	15,6	0,31	3469	1734	20,5	0,44	4363	2182	25,0	0,56	6152	3076	32,8	0,75
48	1675	838	11	0,19	2562	1281	15,6	0,31	3448	1724	20,4	0,43	4334	2167	24,9	0,56	6107	3053	32,6	0,74
49	1661	831	11	0,18	2540	1270	15,5	0,31	3418	1709	20,2	0,43	4297	2148	24,8	0,55	6054	3027	32,4	0,74
50	1647	824	11	0,18	2518	1259	15,4	0,30	3389	1695	20,1	0,43	4260	2130	24,6	0,55	6002	3001	32,2	0,73
51	1634	817	11	0,18	2497	1249	15,3	0,30	3361	1680	20,0	0,42	4224	2112	24,5	0,54	5951	2975	32,0	0,73
52	1621	810	11	0,18	2477	1238	15,2	0,30	3332	1666	19,9	0,42	4188	2094	24,3	0,54	5900	2950	31,8	0,72

Padrão da flange



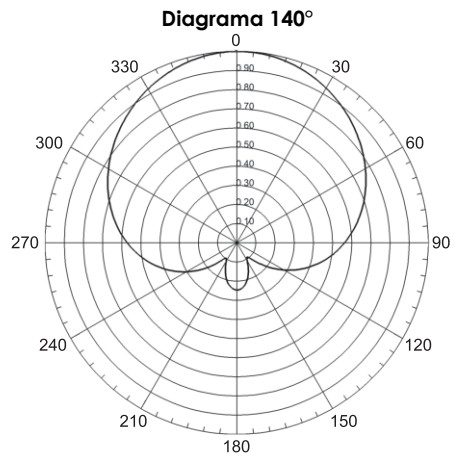
Diagramas Horizontal - escala E/Emáx

Canal	Diagrama Horizontal	ASCL-2	ASCL-4	ASCL-6	ASCL-8	ASCL-12
	140°	5,7	11,1	16,8	21,6	32,7
	220°	3,9	7,7	11,6	15,0	22,7
	360°	3,8	7,4	9,7	14,3	18,8

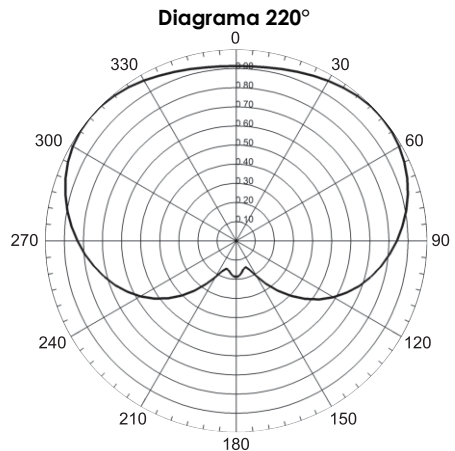
Ganho em vezes sob dipolo de meia onda

Outros diagramas sob consulta

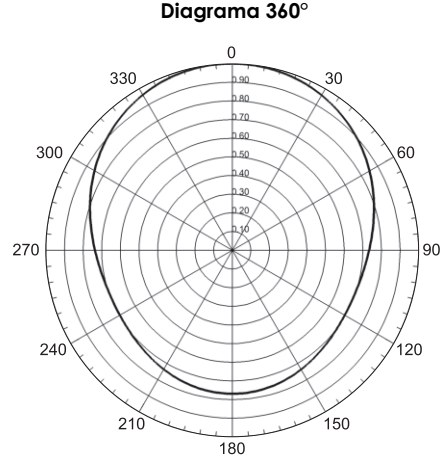
Graus	E/Emax	Graus	E/Emax	Graus	E/Emax	Graus	E/Emax
0	1,000	90	0,444	180	0,144	270	0,480
5	0,990	95	0,384	185	0,137	275	0,546
10	0,965	100	0,334	190	0,119	280	0,614
15	0,931	105	0,295	195	0,094	285	0,682
20	0,897	110	0,266	200	0,078	290	0,746
25	0,871	115	0,246	205	0,087	295	0,800
30	0,858	120	0,233	210	0,117	300	0,842
35	0,856	125	0,222	215	0,150	305	0,869
40	0,861	130	0,211	220	0,181	310	0,882
45	0,865	135	0,197	225	0,204	315	0,884
50	0,861	140	0,176	230	0,222	320	0,877
55	0,846	145	0,149	235	0,237	325	0,871
60	0,817	150	0,118	240	0,251	330	0,871
65	0,773	155	0,091	245	0,269	335	0,883
70	0,717	160	0,081	250	0,294	340	0,907
75	0,651	165	0,095	255	0,327	345	0,939
80	0,581	170	0,118	260	0,369	350	0,971
85	0,511	175	0,137	265	0,420	355	0,993



Graus	E/Emax	Graus	E/Emax	Graus	E/Emax	Graus	E/Emax
0	0,913	90	0,842	180	0,189	270	0,831
5	0,914	95	0,807	185	0,184	275	0,865
10	0,919	100	0,770	190	0,171	280	0,897
15	0,928	105	0,730	195	0,157	285	0,926
20	0,938	110	0,687	200	0,154	290	0,951
25	0,951	115	0,640	205	0,175	295	0,972
30	0,964	120	0,588	210	0,219	300	0,987
35	0,977	125	0,532	215	0,276	305	0,997
40	0,987	130	0,471	220	0,339	310	1,000
45	0,994	135	0,406	225	0,403	315	0,998
50	0,997	140	0,339	230	0,465	320	0,990
55	0,994	145	0,273	235	0,524	325	0,979
60	0,986	150	0,213	240	0,578	330	0,966
65	0,972	155	0,167	245	0,628	335	0,952
70	0,954	160	0,146	250	0,674	340	0,939
75	0,930	165	0,151	255	0,717	345	0,927
80	0,904	170	0,168	260	0,757	350	0,919
85	0,874	175	0,183	265	0,795	355	0,914



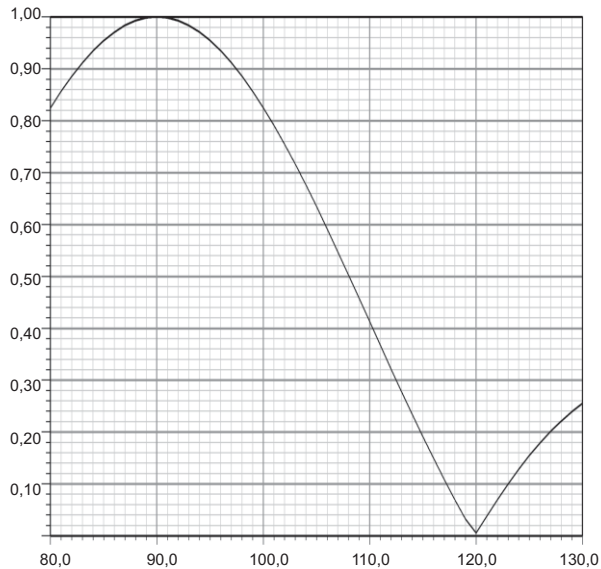
Graus	E/Emax	Graus	E/Emax	Graus	E/Emax	Graus	E/Emax
0	1,000	90	0,734	180	0,768	270	0,736
5	0,999	95	0,721	185	0,767	275	0,752
10	0,995	100	0,711	190	0,764	280	0,770
15	0,989	105	0,703	195	0,759	285	0,790
20	0,981	110	0,698	200	0,752	290	0,810
25	0,971	115	0,696	205	0,744	295	0,832
30	0,959	120	0,697	210	0,736	300	0,853
35	0,944	125	0,700	215	0,727	305	0,874
40	0,928	130	0,705	220	0,718	310	0,894
45	0,911	135	0,712	225	0,710	315	0,913
50	0,892	140	0,720	230	0,703	320	0,930
55	0,871	145	0,729	235	0,698	325	0,946
60	0,850	150	0,737	240	0,696	330	0,960
65	0,829	155	0,746	245	0,695	335	0,972
70	0,808	160	0,754	250	0,698	340	0,982
75	0,787	165	0,760	255	0,703	345	0,990
80	0,768	170	0,765	260	0,711	350	0,996
85	0,750	175	0,768	265	0,722	355	0,999



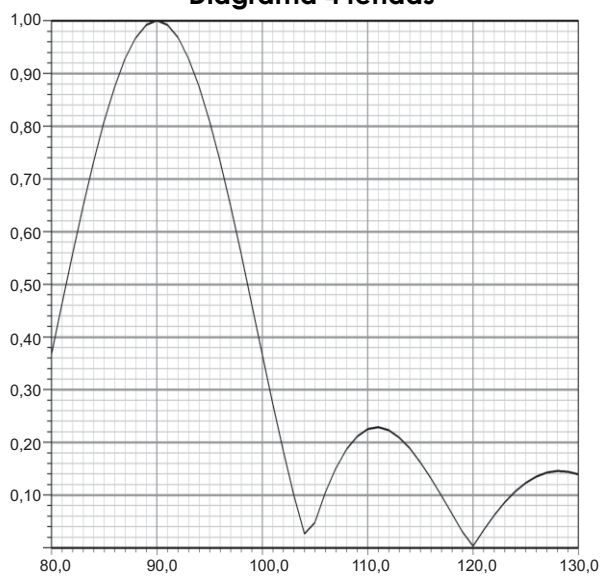
ANTENA SLOT CILÍNDRICA - UHF

Diagramas Vertical - escala E/Emáx

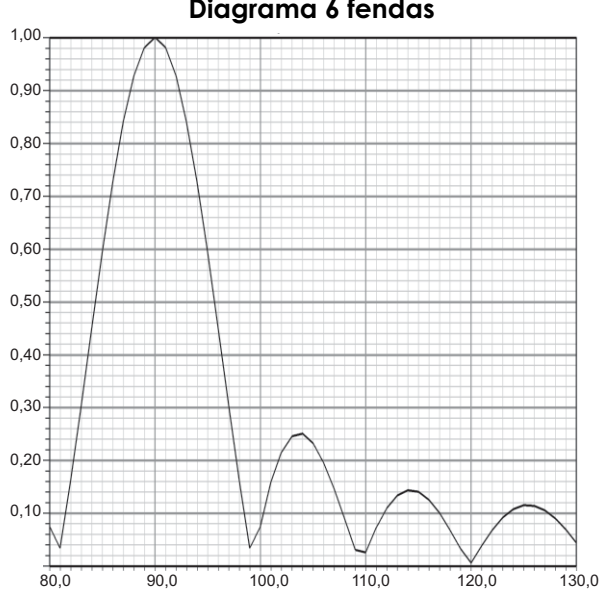
Graus	E/Emax	Graus	E/Emax	Graus	E/Emax
80	0,824	97	0,912	114	0,234
81	0,856	98	0,886	115	0,191
82	0,885	99	0,857	116	0,150
83	0,911	100	0,825	117	0,109
84	0,934	101	0,791	118	0,070
85	0,954	102	0,755	119	0,033
86	0,970	103	0,716	120	0,006
87	0,983	104	0,676	121	0,038
88	0,992	105	0,635	122	0,070
89	0,998	106	0,592	123	0,100
90	1,000	107	0,548	124	0,129
91	0,998	108	0,503	125	0,155
92	0,993	109	0,458	126	0,179
93	0,984	110	0,413	127	0,202
94	0,971	111	0,367	128	0,222
95	0,954	112	0,322	129	0,240
96	0,935	113	0,278	130	0,256



Graus	E/Emax	Graus	E/Emax	Graus	E/Emax
80	0,366	97	0,648	114	0,189
81	0,462	98	0,557	115	0,163
82	0,556	99	0,463	116	0,132
83	0,647	100	0,368	117	0,099
84	0,732	101	0,274	118	0,065
85	0,809	102	0,184	119	0,031
86	0,875	103	0,100	120	0,004
87	0,928	104	0,027	121	0,034
88	0,968	105	0,049	122	0,062
89	0,992	106	0,105	123	0,087
90	1,000	107	0,152	124	0,108
91	0,992	108	0,187	125	0,124
92	0,968	109	0,212	126	0,136
93	0,929	110	0,226	127	0,143
94	0,875	111	0,229	128	0,146
95	0,810	112	0,223	129	0,145
96	0,733	113	0,210	130	0,140



Graus	E/Emax	Graus	E/Emax	Graus	E/Emax
80	0,075	97	0,303	114	0,144
81	0,034	98	0,162	115	0,141
82	0,162	99	0,034	116	0,126
83	0,303	100	0,074	117	0,101
84	0,450	101	0,158	118	0,069
85	0,595	102	0,216	119	0,033
86	0,728	103	0,246	120	0,007
87	0,841	104	0,251	121	0,039
88	0,927	105	0,233	122	0,069
89	0,982	106	0,196	123	0,093
90	1,000	107	0,147	124	0,108
91	0,981	108	0,090	125	0,116
92	0,927	109	0,031	126	0,115
93	0,840	110	0,026	127	0,106
94	0,727	111	0,073	128	0,090
95	0,594	112	0,110	129	0,069
96	0,450	113	0,134	130	0,044



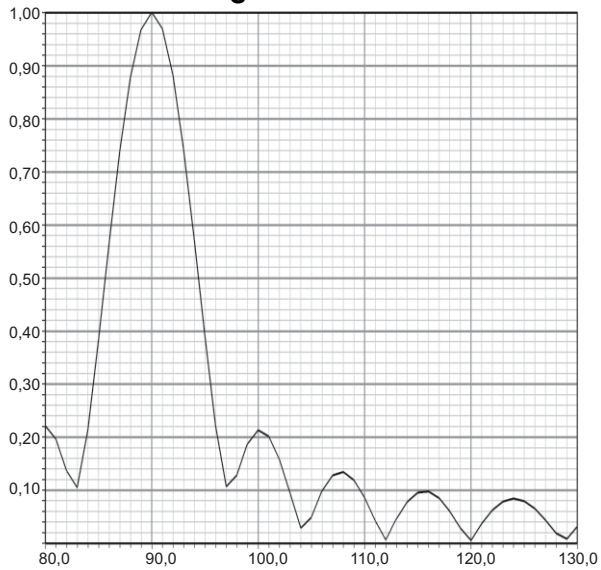
ANTENA SLOT CILÍNDRICA - UHF



Broadcast: Television & Radio

Graus	E/Emax	Graus	E/Emax	Graus	E/Emax
80	0,222	97	0,108	114	0,079
81	0,197	98	0,129	115	0,096
82	0,137	99	0,188	116	0,098
83	0,105	100	0,214	117	0,085
84	0,214	101	0,202	118	0,061
85	0,384	102	0,158	119	0,029
86	0,567	103	0,095	120	0,006
87	0,738	104	0,029	121	0,037
88	0,877	105	0,049	122	0,063
89	0,968	106	0,099	123	0,079
90	1,000	107	0,129	124	0,085
91	0,970	108	0,135	125	0,080
92	0,880	109	0,120	126	0,066
93	0,743	110	0,086	127	0,044
94	0,573	111	0,043	128	0,019
95	0,391	112	0,006	129	0,009
96	0,221	113	0,047	130	0,033

Diagrama 8 fendas



Graus	E/Emax	Graus	E/Emax	Graus	E/Emax
80	0,048	97	0,217	114	0,026
81	0,059	98	0,160	115	0,018
82	0,163	99	0,056	116	0,052
83	0,219	100	0,050	117	0,068
84	0,188	101	0,120	118	0,061
85	0,052	102	0,135	119	0,034
86	0,180	103	0,099	120	0,002
87	0,462	104	0,032	121	0,035
88	0,733	105	0,039	122	0,056
89	0,929	106	0,087	123	0,060
90	1,000	107	0,098	124	0,047
91	0,929	108	0,072	125	0,021
92	0,734	109	0,022	126	0,010
93	0,463	110	0,031	127	0,037
94	0,182	111	0,069	128	0,053
95	0,049	112	0,080	129	0,055
96	0,185	113	0,063	130	0,043

Diagrama 12 fendas

